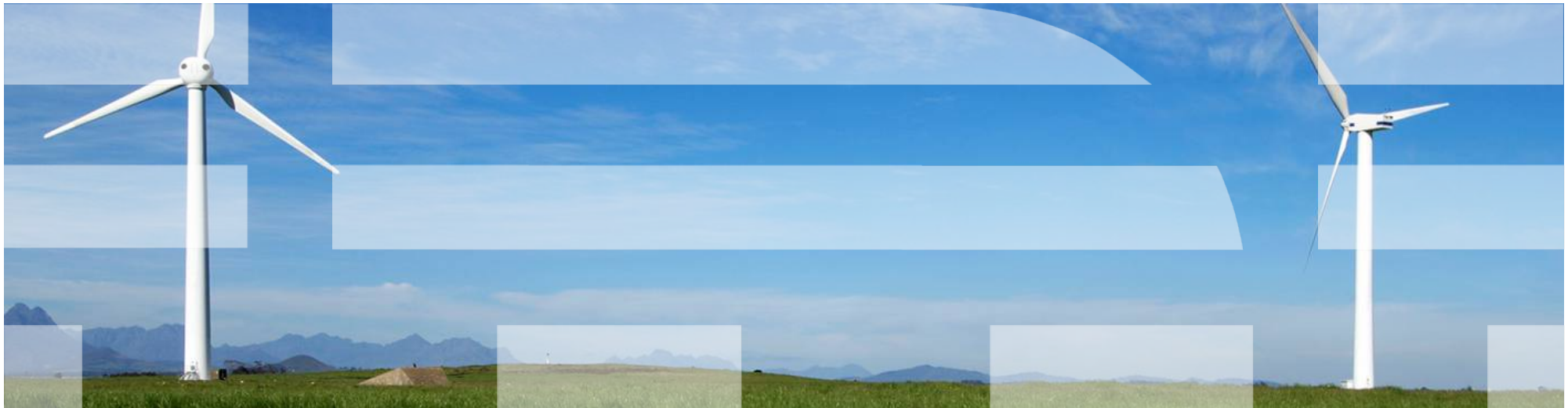


# Параллельные алгоритмы IBM Research для решения задач обхода и построения кратчайших путей на графах с триллионами ребер

**Александр Позднеев**

*Технический консультант по высокопроизводительным системам  
IBM Восточная Европа/Азия*



Семинар “[GraphHPC-2014](#)”, 5 марта 2014 г.

# Содержание

- Введение
- Задача поиска в ширину
  - IBM Blue Gene в Graph500
  - Структуры данных и алгоритмы
  - Анализ производительности
- Задача поиска кратчайших путей
  - Структуры данных и алгоритмы
  - Анализ производительности
- Заключение

# Введение

# Эпоха Big Data

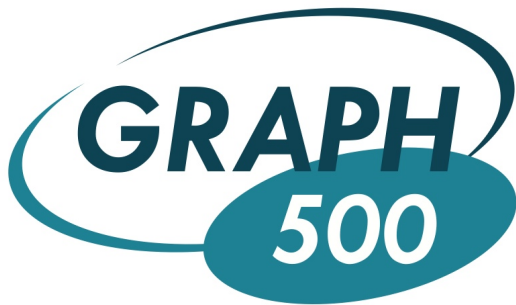
- Огромные массивы данных
- Нет локальности данных, под которую оптимизированы существующие архитектуры
- Нерегулярный доступ – кэш и предвыборка не работают
- Низкое соотношение объема вычислений и числа операций доступа к памяти – не скрыть латентность
- Маленькие сетевые пакеты в случайных направлениях с высокой частотой

# Задача поиска в ширину (Breadth-First Search, BFS)

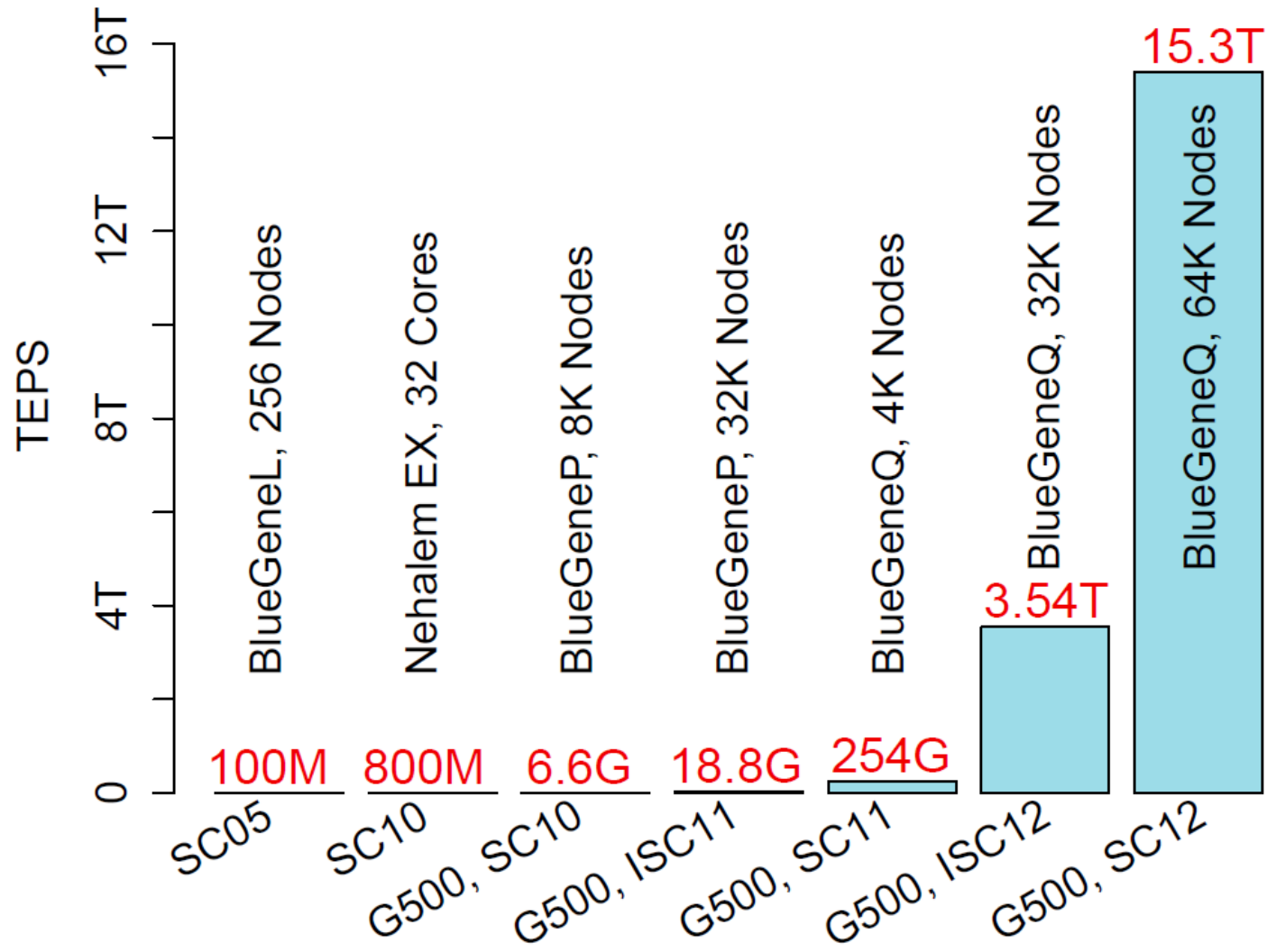
F. Checconi, F. Petrini “Traversing Trillions of Edges in Real-time: Graph Exploration on Large-scale Parallel Machines”, [IPDPS 2014](http://www.odbms.org/wp-content/uploads/2014/05/g500-ipdps14.pdf), Phoenix, Arizona, May 19-23, 2014  
<http://www.odbms.org/wp-content/uploads/2014/05/g500-ipdps14.pdf>

# Blue Gene в Graph500

Дата	Место	Система	Модель	Число ядер
2013, ноябрь	1	Sequoia	Q	1 048 576
2013, июнь	1	Sequoia	Q	1 048 576
2012, ноябрь	1	Sequoia	Q	1 048 576
2012, июнь	1	Sequoia / Mira	Q	524 288
2011, ноябрь	1	NNSA/SC (IBM – BG/Q Prototype)	Q	65 536
2011, июнь	1	Interpid	P	131 072
2010, ноябрь	1	Interpid	P	32 000



# BFS: Эволюция производительности



# BFS: Рекордные результаты

- IBM BG/Q Sequoia
  - 64 стойки (из 96)
  - 64k выч. узлов
  - 4 млн. нитей
- R-MAT
  - scale=40
  - 1 трлн. вершин  $\sim 10^{12}$
- **15.3 трлн. TEPS**

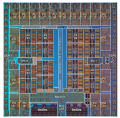




# BG/Q

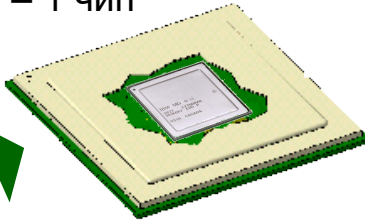
## 1. Чип

– 16+2 ядер



## 2. Модуль

– 1 чип



## 3. Вычислительный узел

- 1 чиповый модуль
- 16 ГБ памяти DDR3



## 4. Плата вычислительных узлов

- 32 вычислительных узла
- оптические модули
- чипы коммуникаций
- сеть 5D-top



## 5b. Шасси узлов ввода-вывода

- 8 узлов ввода-вывода
- 8 слотов PCIe Gen2 x8



## 5a. Шасси вычислительных узлов

- 16 плат вычислительных узлов

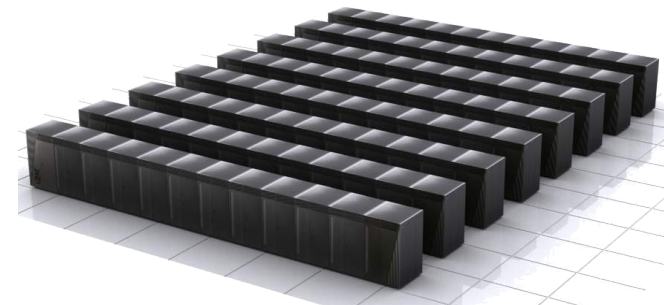


## 6. Стойка

- 2 шасси вычислительных узлов
- 0, 1, 2 или 4 шасси узлов ввода-вывода



## 7. Система из многих стоек



# BFS: Последовательный алгоритм

---

**Input:**  $G = (V, E)$ : graph representation;  
 $v_s$ : source vertex;  
 $In$ : current level input vertices;  
 $Out$ : current level output vertices;  
 $Vis$ : vertices already visited.  
**Output:**  $P$ : predecessor map.

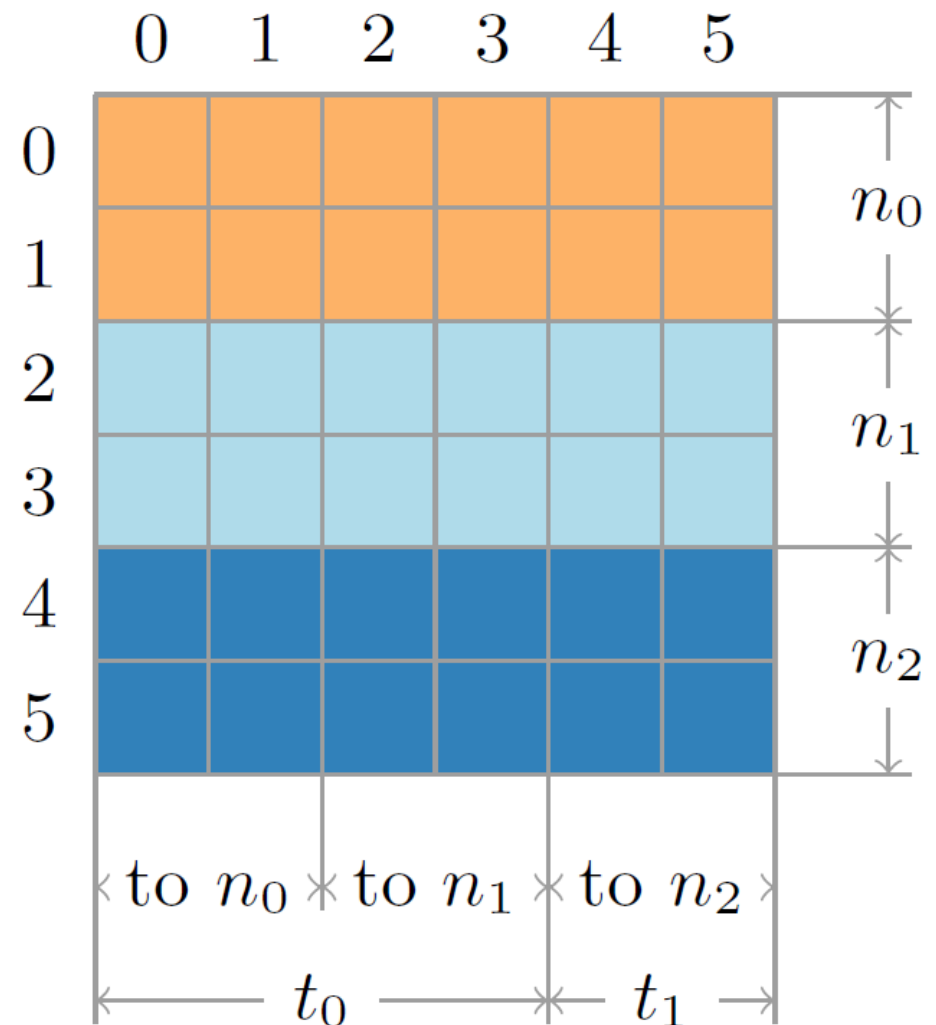
```

1  $In \leftarrow \{v_s\}$  ;
2  $Vis \leftarrow \{v_s\}$  ;
3  $P(v) \leftarrow \perp \forall v \in V$  ;  $P(v_s) \leftarrow v_s$ 
4 while  $In \neq \emptyset$  do
5   // Find the reachable edges.
6    $Out \leftarrow \emptyset$  ;
7   for  $u \in In$  do
8     for  $v \mid (u, v) \in E$  do
9       if  $v \notin Vis$  then
10         $Out \leftarrow Out \cup \{v\}$  ;
11         $Vis \leftarrow Vis \cup \{v\}$  ;
12         $P(v) \leftarrow u$  ;
13   // Prepare for next level.
14    $In \leftarrow Out$  ;
```

---

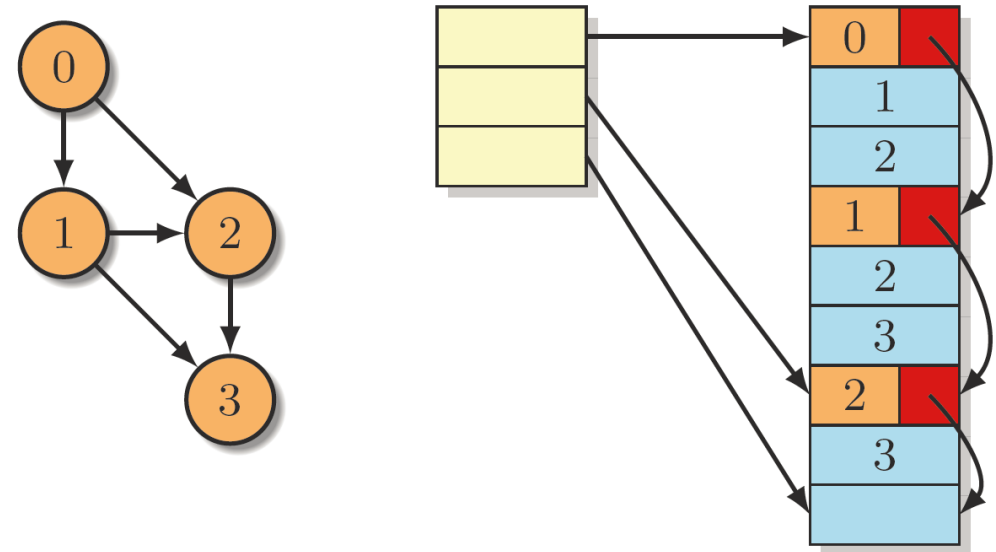
# BFS: Одномерная декомпозиция

- Вершины поделены между  $m$  выч. узлами:  
 $n_0, n_1, \dots, n_{m-1}$
- Ребра, инцидентные вершинам выч. узла  $n_i$ , хранятся на выч. узле  $n_i$
- Распределенный алгоритм: ребра генерируют сообщения от узла-владельца src-вершины узлу-владельцу dst-вершины



# BFS: Compressed adjacency list + a coarse index

- [(**вершина**, **ссылка**),  
[соседи]+]+
  - (**вершина**, **ссылка**)
    - старшие биты – из номера выч. узла
    - сэкономленные биты – **ссылка (# соседей)**
  - [соседи]+
    - нужны все **40 бит**
    - сэкономленные – для балансировки нагрузки



- coarse index
  - каждые 64 **вершины**
  - пропускать большие части списка на начальных и конечных шагах, проверяя слова битового массива  $In$

## BFS: Search pruning – direction-оптимизация

- Граф малого диаметра – на некоторых шагах можно пройти на порядок меньше ребер
- Вместо top-down – bottom-up
  - каждая еще недостигнутая вершина проверяет, не принадлежит ли ее сосед текущему фронту
  - одно или два сообщения на ребро:
    - протестировать потенциального родителя
    - заявить родительские права

# BFS: Direction-оптимизированный алгоритм

---

**Input:**  $G = (V, E)$ : graph representation;  
 $n$ : rank;  
 $v_s$ : source vertex;  
 $In$ : current level input vertices;  
 $Out$ : current level output vertices.

**Output:**  $P$ : predecessor map.

```

1  $In_r \leftarrow \begin{cases} \{v_s\} & \text{if } v_s \in R_r \\ \emptyset & \text{otherwise} \end{cases} ;$ 
2  $Vis_r \leftarrow \{v_s\} ;$ 
3  $P(v) \leftarrow \perp \forall v \in V ;$ 
4 if  $v_s \in R_r$  then  $P(v_s) \leftarrow v_s ;$ 
5 while  $In \neq \emptyset$  do
6    $dir \leftarrow \text{CalcDirection}() ;$ 
7   if  $dir = FORWARD$  then
8      $\text{ForwardStep}() ;$ 
9   else
10     $\text{BackwardStep}() ;$ 
11   $In \leftarrow Out ;$ 

```

---

**CalcDirection() :**

$NV$   
*not visited*

$NE$   
*reachable from frontier*

**if**  $(NV > NE)$   
      $dir = FORWARD$

**else**  
      $dir = BACKWARD$

# BFS: ForwardStep(), BackwardStep()

**Input:**  $G = (V, E)$ : graph representation;  
 $n$ : rank;  
 $In$ : current level input vertices;  
 $Out$ : current level output vertices;  
 $Vis$ : vertices already visited.  
**Output:**  $P$ : predecessor map.

```

1 function ForwardStep ()
2 begin
3   for  $u \in In_n$  do
4     for  $v : (u, v) \in E_n$  do
5       send ( $u, v, FORWARD$ ) to Owner ( $v$ ) ;
6 function BackwardStep ()
7 begin
8   for  $v \in \neg Vis_n$  do
9     for  $u : (u, v) \in E_n$  do
10      send ( $u, v, BACKWARD$ ) to Owner ( $u$ ) ;
11 function Receive ( $u, v, dir$ )
12 begin
13   if  $dir = FORWARD$  then
14     if  $v \notin Vis_n$  then
15        $Vis_n \leftarrow Vis_n \cup \{v\}$  ;
16        $Out_n \leftarrow Out_n \cup \{v\}$  ;
17        $P(v) \leftarrow u$  ;
18   else
19     // Backward.
20     if  $u \in In_n$  then
21       send ( $u, v, FORWARD$ ) to Owner ( $v$ ) ;

```

- ForwardStep()
  - top-down
  - одно сообщение на ребро узлу-владельцу посещенной вершины
- BackwardStep()
  - bottom-up
  - одно сообщение на ребро потенциальному родителю

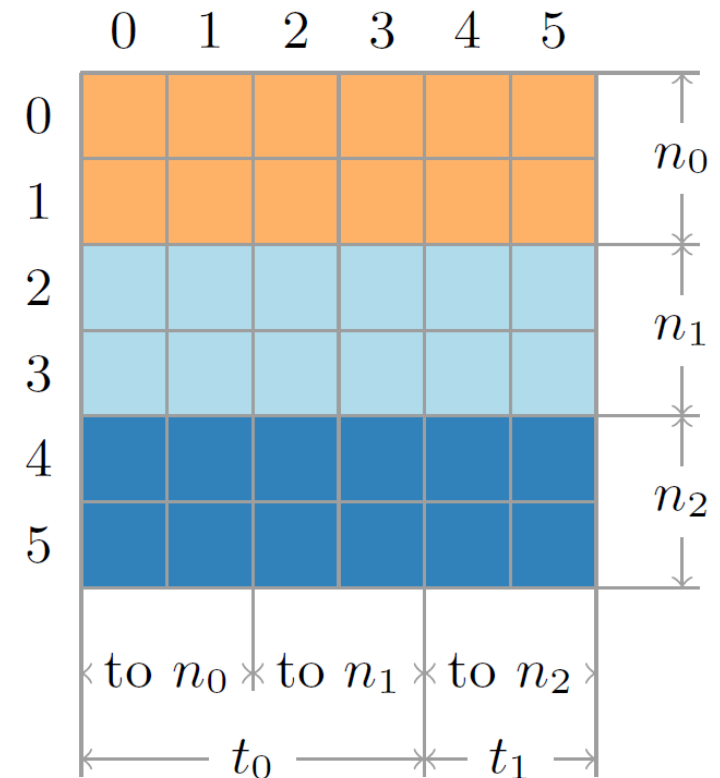
# BFS: Баланс вычислений и обменов

- Эффективность утилизации вычислительных и коммуникационных ресурсов
- Полностью асинхронные коммуникации
- Полное перекрытие вычислений и обменов
- Баланс между вычислениями и обменами
  - в больших системах лимитирующий фактор – bisection bandwidth
  - неизрасходованная вычислительная мощность – на сжатие сообщений



# BFS: Коммуникации

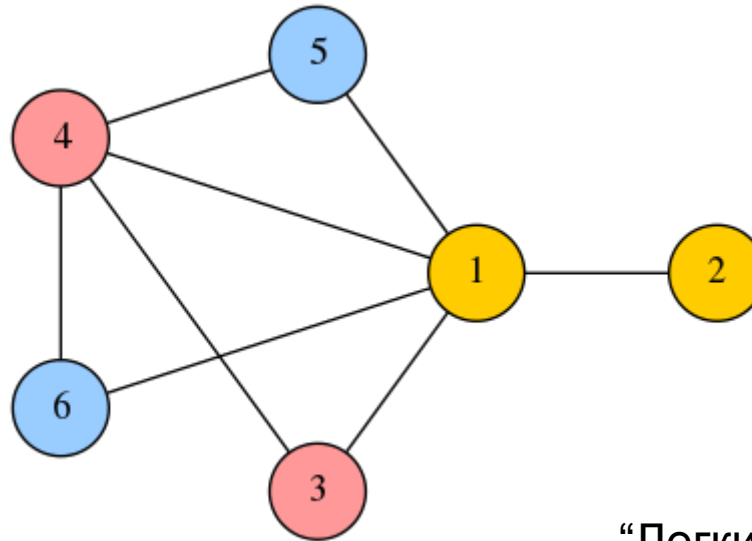
- В каждом выч. узле для каждого выч. узла поддерживается буфер сообщений
- Список ребер каждой вершины разделен между нитями узла – различным нитям всегда соответствуют различные узлы
- Каждый блок  $A_{i,j}$  матрицы связности приписан определенной нити, и нити управляют с сообщениями независимо



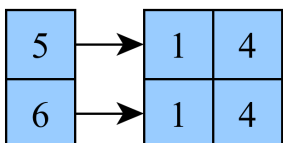
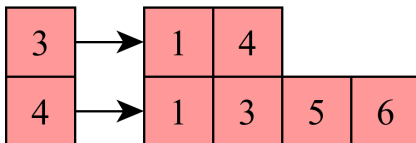
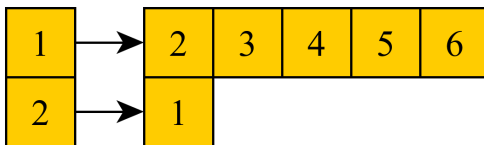
# BFS: Балансировка нагрузки

- Причины
  - нерегулярная структура графов
  - наличие вершин с огромным числом соседей
- $LB$  – число вершин, подвергаемых балансировке (**L**oad **B**alancing)
- Множество  $H$  (**H**eavy) – вершины (в количестве  $LB$ ) с самыми большими степенями
  - формируется на этапе распределения данных
  - не входят в одномерную декомпозицию

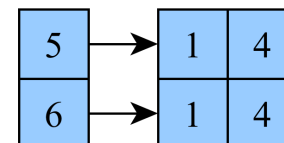
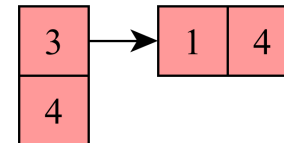
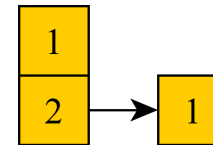
# BFS: Схема распределения данных



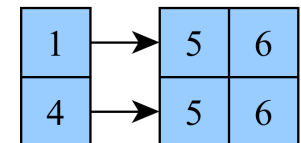
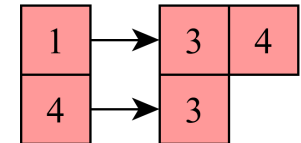
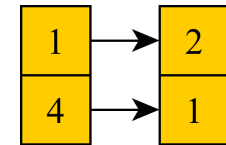
Классическая одномерная  
декомпозиция



“Легкие”  
вершины



“Тяжелые”  
вершины



# BFS: Алгоритмы для H-вершин

```

1 function ForwardStep ()
2 begin
3    $Out_n^H \leftarrow \emptyset$  ;
4   for  $u \in In^H$  do
5     for  $v : (u, v) \in E_n$  do
6       if  $v \in H$  then
7          $Vis_n^H \leftarrow Vis_n^H \cup \{v\}$  ;
8          $Out_n^H \leftarrow Out_n^H \cup \{v\}$  ;
9          $P_n^H(v) \leftarrow u$  ;
10      else
11         $Vis_n \leftarrow Vis_n \cup \{v\}$  ;
12         $Out_n \leftarrow Out_n \cup \{v\}$  ;
13         $P(v) \leftarrow u$  ;
14      allreduce ( $Vis_n^H, OR$ ) ;
15      allreduce ( $Out_n^H, OR$ ) ;
16       $In^H \leftarrow Out_n^H$  ;

```

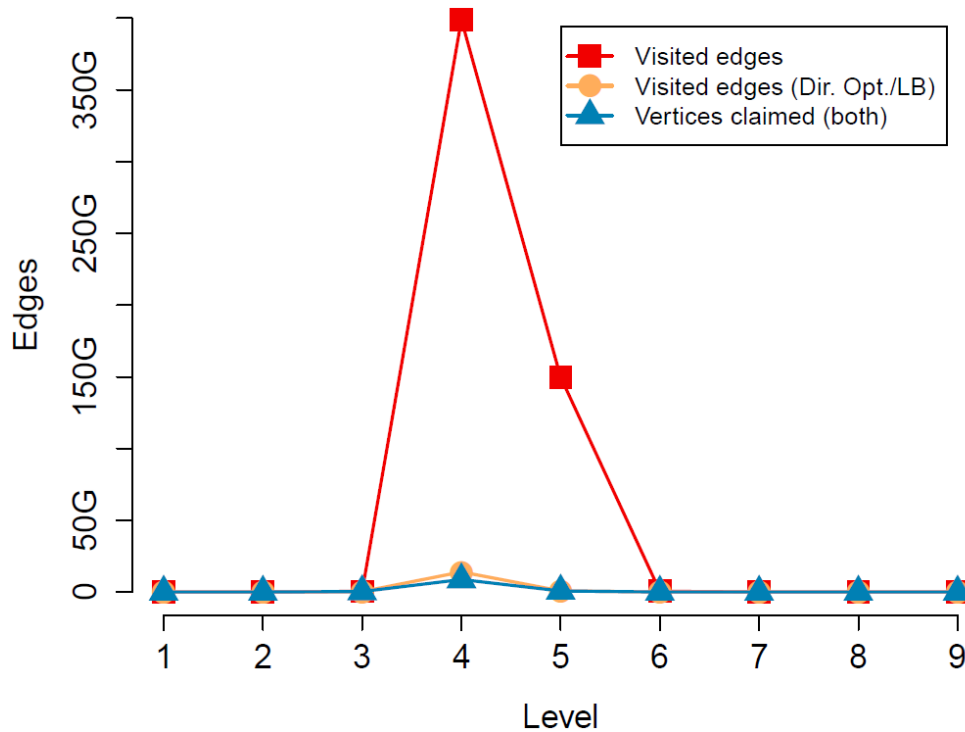
```

17 function BackwardStep ()
18 begin
19    $Out_n^H \leftarrow \emptyset$  ;
20   for  $v \in \neg Vis_n^H$  do
21     for  $u : (u, v) \in E_n$  do
22       if  $u \in H$  then
23         if  $u \in In_n^H$  then
24            $Vis_n^H \leftarrow Vis_n^H \cup \{v\}$  ;
25            $Out_n^H \leftarrow Out_n^H \cup \{v\}$  ;
26            $P_n^H(v) \leftarrow u$  ;
27         else if  $u \in In_n$  then
28            $Vis_n \leftarrow Vis_n \cup \{v\}$  ;
29            $Out_n \leftarrow Out_n \cup \{v\}$  ;
30            $P(v) \leftarrow u$  ;
31       allreduce ( $Vis_n^H, OR$ ) ;
32       allreduce ( $Out_n^H, OR$ ) ;
33        $In^H \leftarrow Out_n^H$  ;

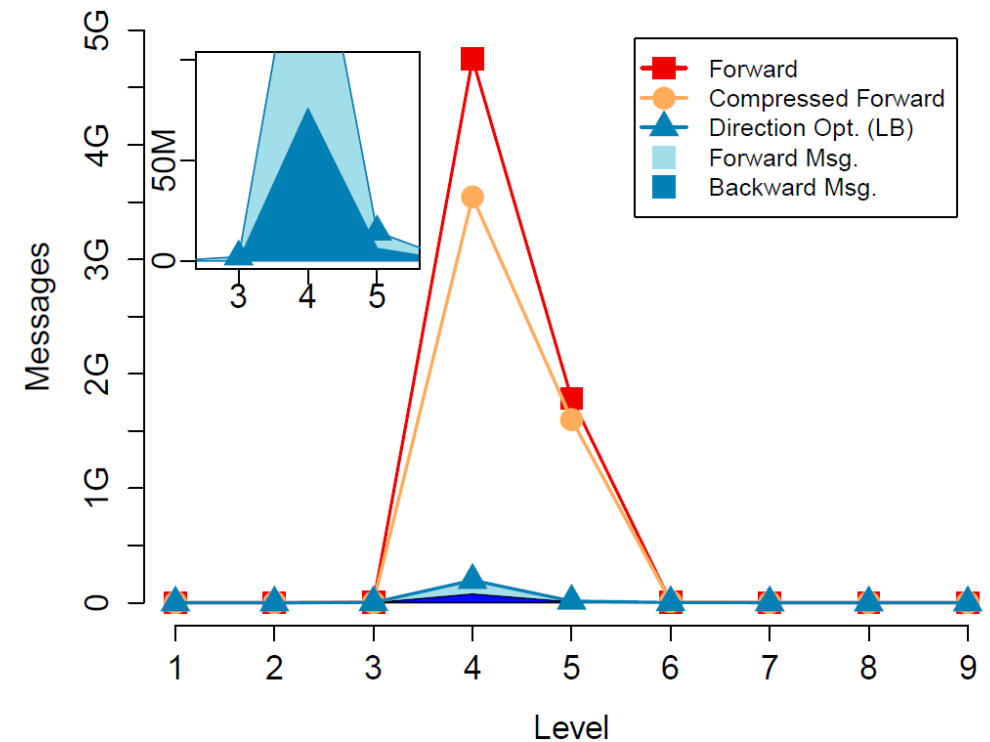
```

# BFS: Эффект direction-оптимизации

## Свойства графа

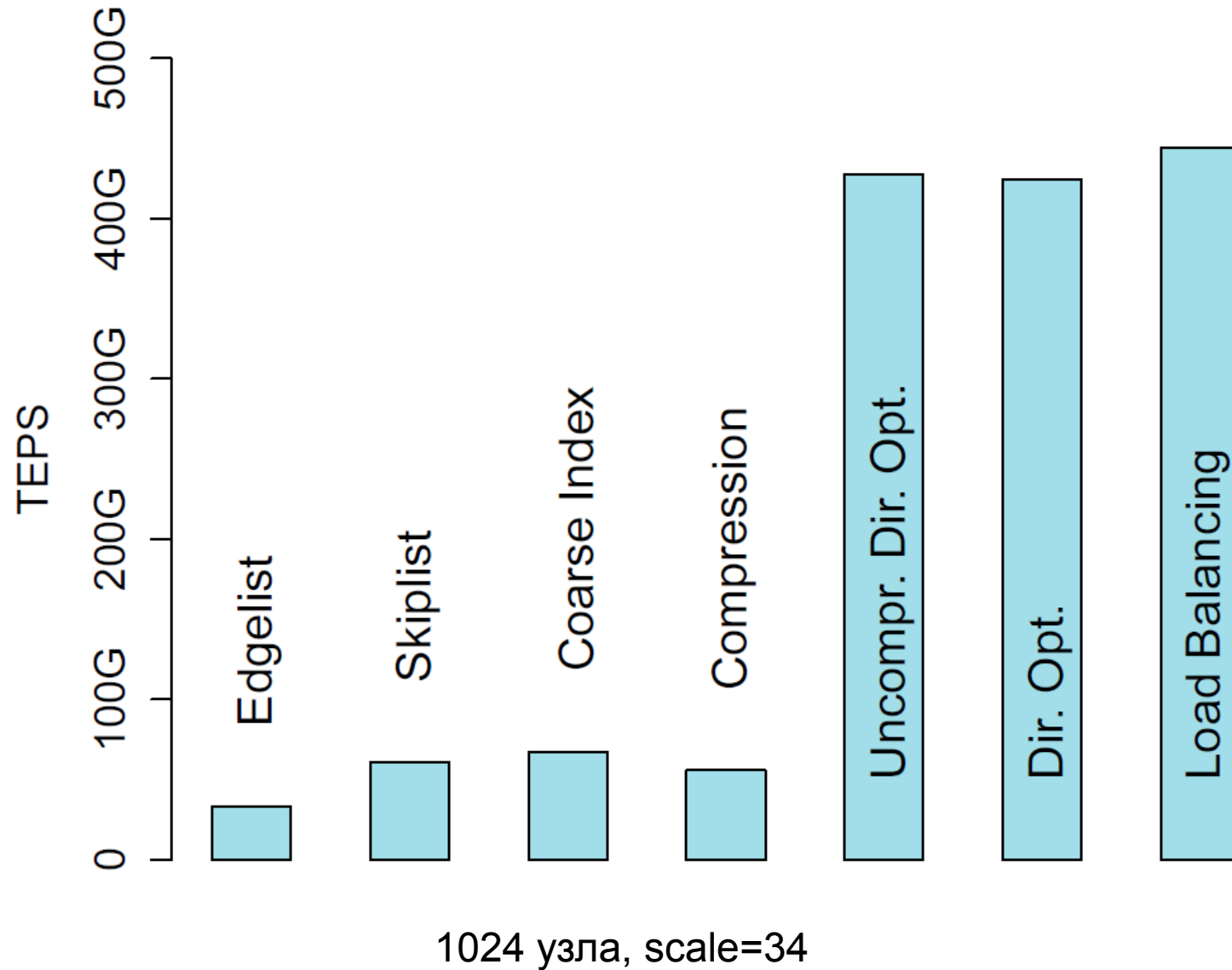


## Число сообщений

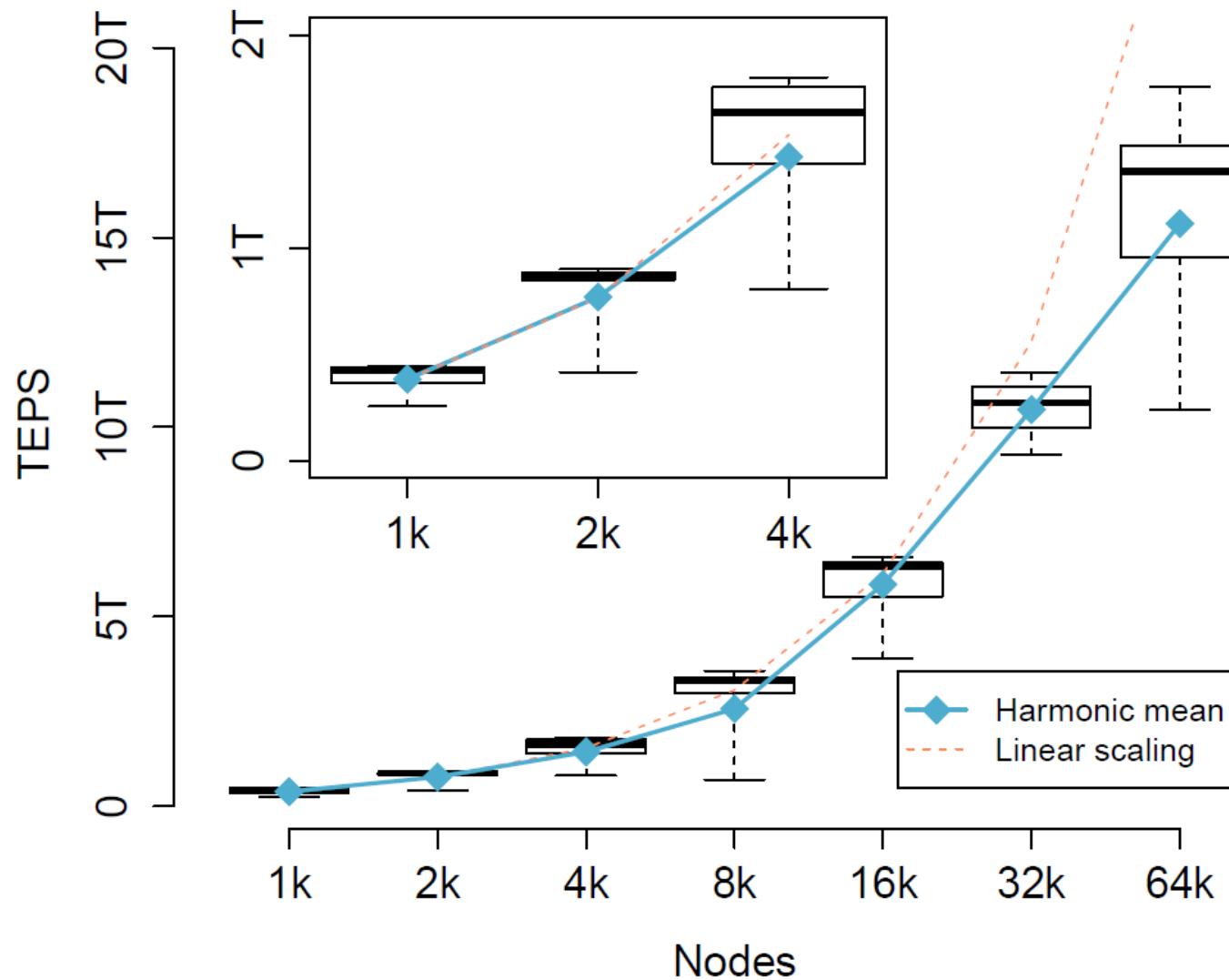


1024 узла, scale=34

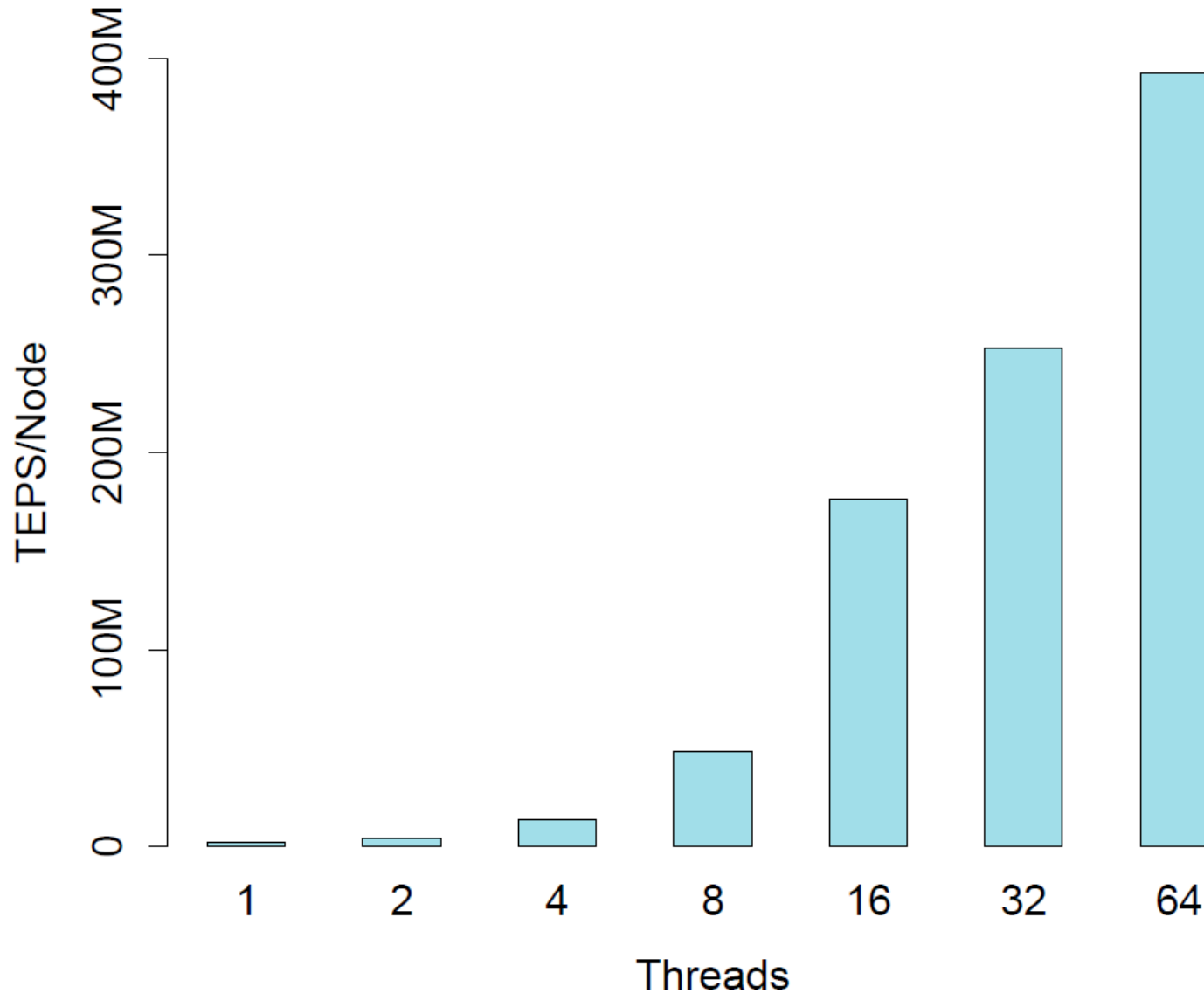
# BFS: Эффект отдельных оптимизаций



# BFS: Масштабируемость в слабом смысле



# BFS: Эффект многопоточности

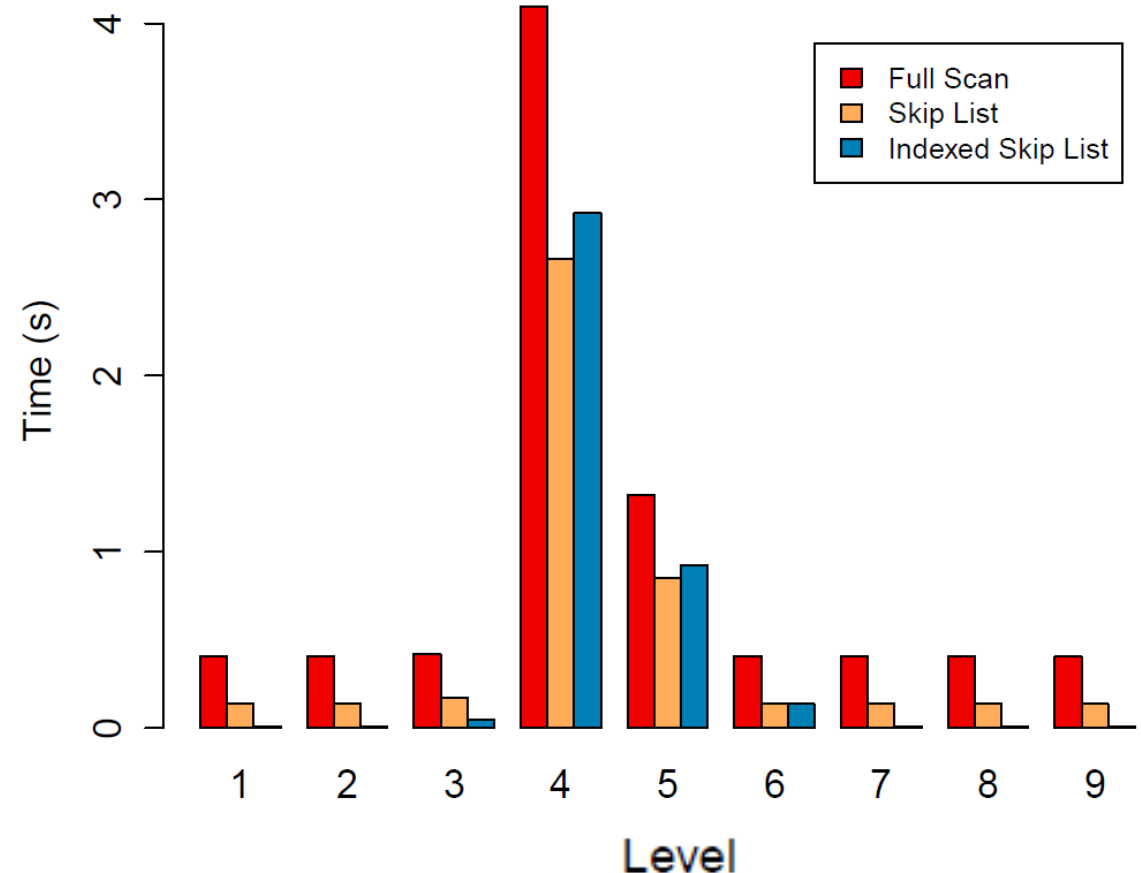


1024 узла, scale=34



# BFS: Влияние представления графа

- 1024 узла, scale=34
- **Full Scan** – пары вершин
- **Skip List** – Compressed Adjacency list
- **Indexed Skip List** – **Skip List** + Coarse Index
- ~~Direction-оптимизация~~



# Задача поиска кратчайших путей (Single-Source Shortest Path, SSSP)

V.T. Chakaravarthy, F. Checconi, F. Petrini, Y. Sabharwal “Scalable Single Source Shortest Path Algorithms for Massively Parallel Systems”, [IPDPS 2014](#), Phoenix, Arizona, May 19-23, 2014  
<http://www.odbms.org/wp-content/uploads/2014/05/sssp-ipdps2014.pdf>

# SSSP: Рекордные результаты

- IBM BG/Q Mira
  - 32 стойки (из 48)
  - 32k выч. узлов
  - 2 млн. нитей
- R-MAT
  - scale=38
  - 0.25 трлн. вершин
- **3.1 трлн. TEPS**



# BFS и SSSP: Производительность

Ссылка	Задача	Тип графа	# вершин	GTEPS	Число процессоров	Система
Bader, Madduri	BFS	R-MAT	200 M	0.5	40	Cray MTA-2
Checconi et al.	BFS	Graph 500	$2^{32}$	254	4к узлов / 64к ядер	IBM BG/Q NNSA SC
Graph 500 Nov 2013	BFS	Graph 500	$2^{36}$	1 427	4к узлов / 64к ядер	IBM BG/Q Mira
Graph 500 Nov 2013	BFS	Graph 500	$2^{39}$	14 328	32к узлов / 512к ядер	IBM BG/Q Mira
Graph 500 Nov 2013	BFS	Graph 500	$2^{40}$	15 363	64к узлов / 1М ядер	IBM BG/Q Sequoia
Madduri et al.	SSSP	R-MAT	$2^{28}$	0.1	40	Cray MTA-2
[sssp-2014]	SSSP	R-MAT	$2^{35}$	650	4к узлов / 64к ядер	IBM BG/Q Mira
[sssp-2014]	SSSP	R-MAT	$2^{38}$	3100	32к узлов / 512к ядер	IBM BG/Q Mira

# SSSP: Классические алгоритмы

- Dijkstra algorithm
- Bellman-Ford algorithm
- $\Delta$ -stepping algorithm (Meyer, Sanders)

# SSSP: Обозначения

- $G = (V, E, w)$  – ненаправленный граф
- $e$  – ребро из множества  $E$
- $w(e) > 0$  – целочисленный вес ребра
- $N = |V|$  – число вершин
- $m = |E|$  – число ребер
- $r_t$  – корневая вершина
- $d^*(v)$  – кратчайшее расстояние от вершины  $v$  до корневой вершины  $r_t$

# SSSP: Терминология

- $d(v) \geq d^*(v)$  – “предварительное” расстояние
  - инициализация
    - $d(v) = \infty$
    - $d(\text{rt}) = 0$
  - в конце алгоритма
    - $d(v) = d^*(v)$  для всех вершин
- Релаксация ребра
  - пусть  $d(u)$  изменилось
  - $\text{Relax}(u, v): d(v) = \min\{ d(v), d(u) + w(<u, v>) \}$
- Если  $d(v) = d^*(v)$ , то  $v$  – settled-вершина

# SSSP: $\Delta$ -stepping algorithm

## Initialization

Set  $d(\text{rt}) \leftarrow 0$ ; for all  $v \neq \text{rt}$ , set  $d(v) \leftarrow \infty$ .  
 Set  $B_0 \leftarrow \{\text{rt}\}$  and  $B_\infty \leftarrow V - \{\text{rt}\}$ .  
 For  $k = 1, 2, \dots$ , set  $B_k \leftarrow \emptyset$ .

## $\Delta$ -Stepping Algorithm

$k \leftarrow 0$ .

Loop      // Epochs

**ProcessBucket**( $k$ )

    Next bucket index :  $k \leftarrow \min\{i > k : B_i \neq \emptyset\}$ .

    Terminate the loop, if  $k = \infty$ .

## **ProcessBucket**( $k$ )

$A \leftarrow B_k$ .      //active vertices

    While  $A \neq \emptyset$       //phases

        For each  $u \in A$  and for each edge  $e = \langle u, v \rangle$

            Do **Relax**( $u, v$ )

$A' \leftarrow \{x : d(x) \text{ changed in the previous step}\}$

$A \leftarrow B_k \cap A'$

## **Relax**( $u, v$ ):

    Old bucket:  $i \leftarrow \lfloor \frac{d(v)}{\Delta} \rfloor$ .

$d(v) \leftarrow \min\{d(v), d(u) + w(\langle u, v \rangle)\}$ .

    New bucket :  $j \leftarrow \lfloor \frac{d(v)}{\Delta} \rfloor$ .

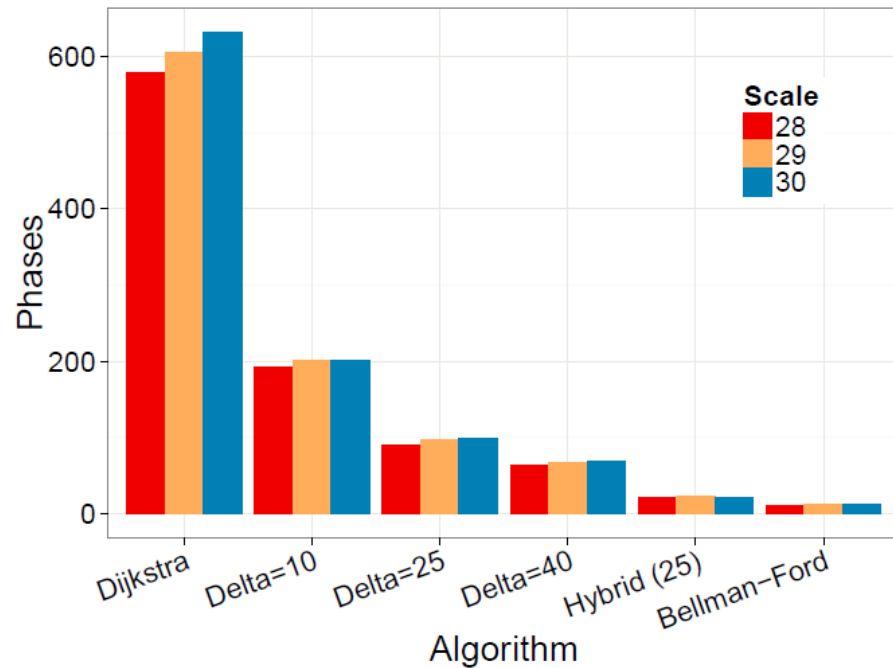
    If  $j < i$ , move  $v$  from  $B_i$  to  $B_j$ .



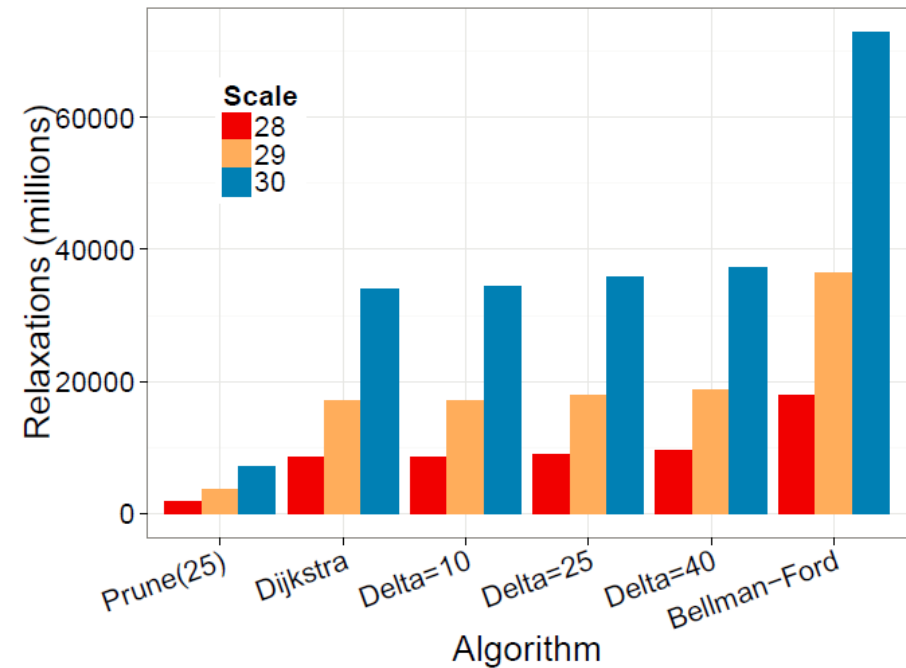
# SSSP: Распределенный алгоритм

- Вершины распределены между узлами
- $\text{Relax}(u, v)$ 
  - узел-владелец вершины  $u$  посылает значение  $d(u)$  узлу-владельцу вершины  $v$

# SSSP: сравнение алгоритмов



(a) Number of phases



(b) Number of relaxations

- Число фаз (allreduce)
  - $\text{Dijkstra} \geq \Delta\text{-stepping} \geq \text{Bellman-Ford}$
- Число релаксаций (коммуникации, imbalance)
  - $\text{Dijkstra} \leq \Delta\text{-stepping} \leq \text{Bellman-Ford}$

# SSSP: Особенности алгоритма

- Сокращение числа релаксаций
  - Pruning
    - direction-оптимизация
      - два типа релаксации: push и pull
    - классификация ребер
- Сокращение числа фаз
  - Гибридный подход
    - на начальных шагах –  $\Delta$ -stepping
    - далее – Bellman-Ford
- Балансировка нагрузки
  - соседи “тяжелых” вершин делятся между узлами

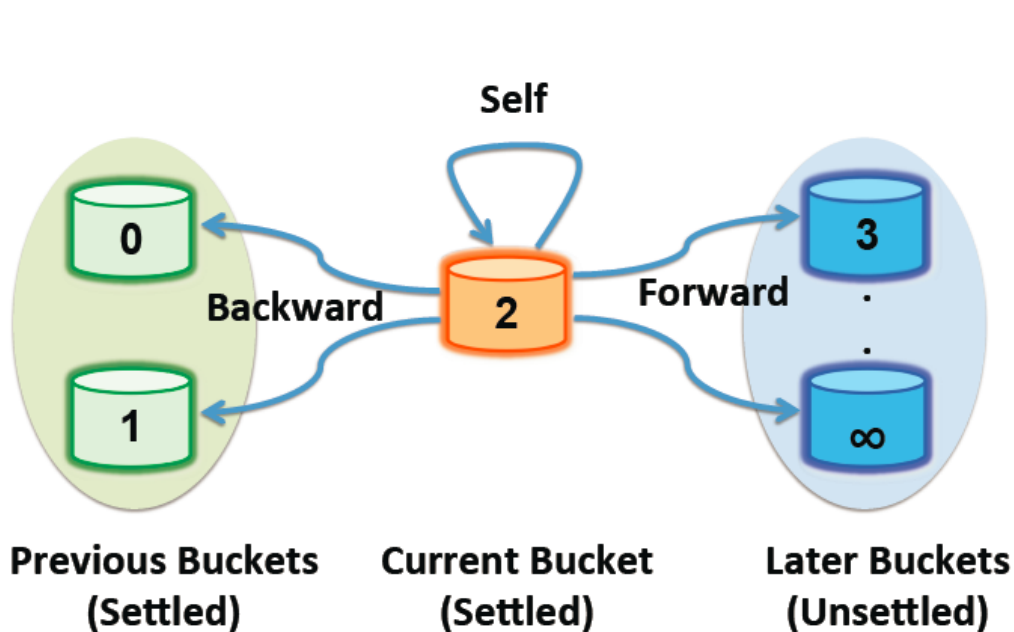
# SSSP: Классификация ребер

- Meyer, Sanders
  - $w(e) < \Delta$  – короткие
  - $w(e) \geq \Delta$  – длинные (только в конце фазы)
- Классификация коротких ребер (inner-outer short heuristics, IOS)
  - $d'(v) = d(u) + w(e)$  – входит в  $B_k$ ?
    - inner short edges – релаксируем немедленно
    - outer short edges – релаксируем вместе с длинными

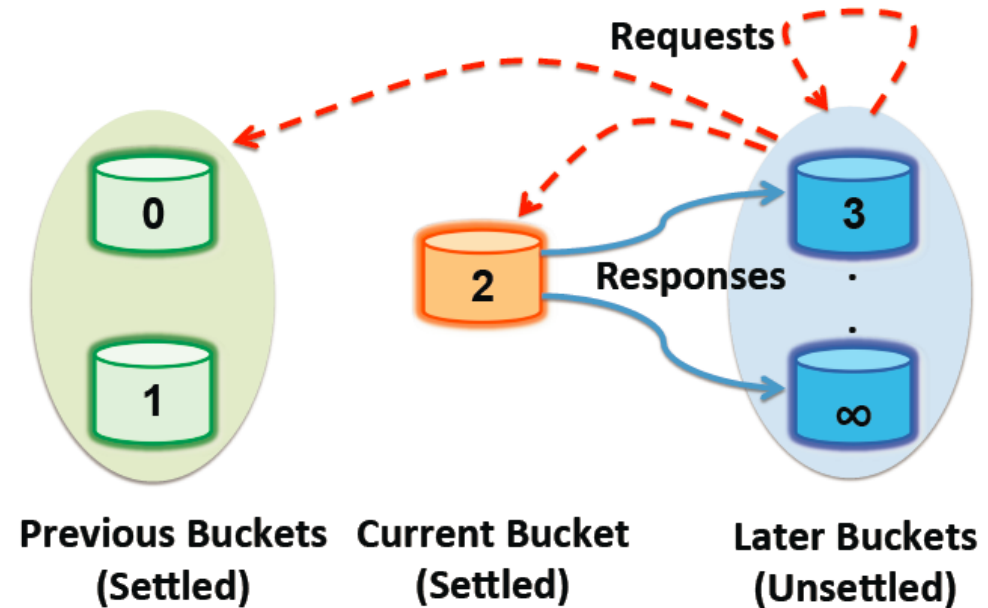
# SSSP: pruning-эвристика

- BFS: direction-оптимизация
- В какой фазе больше релаксаций:
  - фаза коротких ребер?
  - фаза длинных ребер?
  - если  $\Delta \ll w_{\max}$ , то большинство ребер в  $[\Delta, w_{\max}]$
- Оптимизируем релаксацию длинных ребер

# SSSP: push- и pull-модели



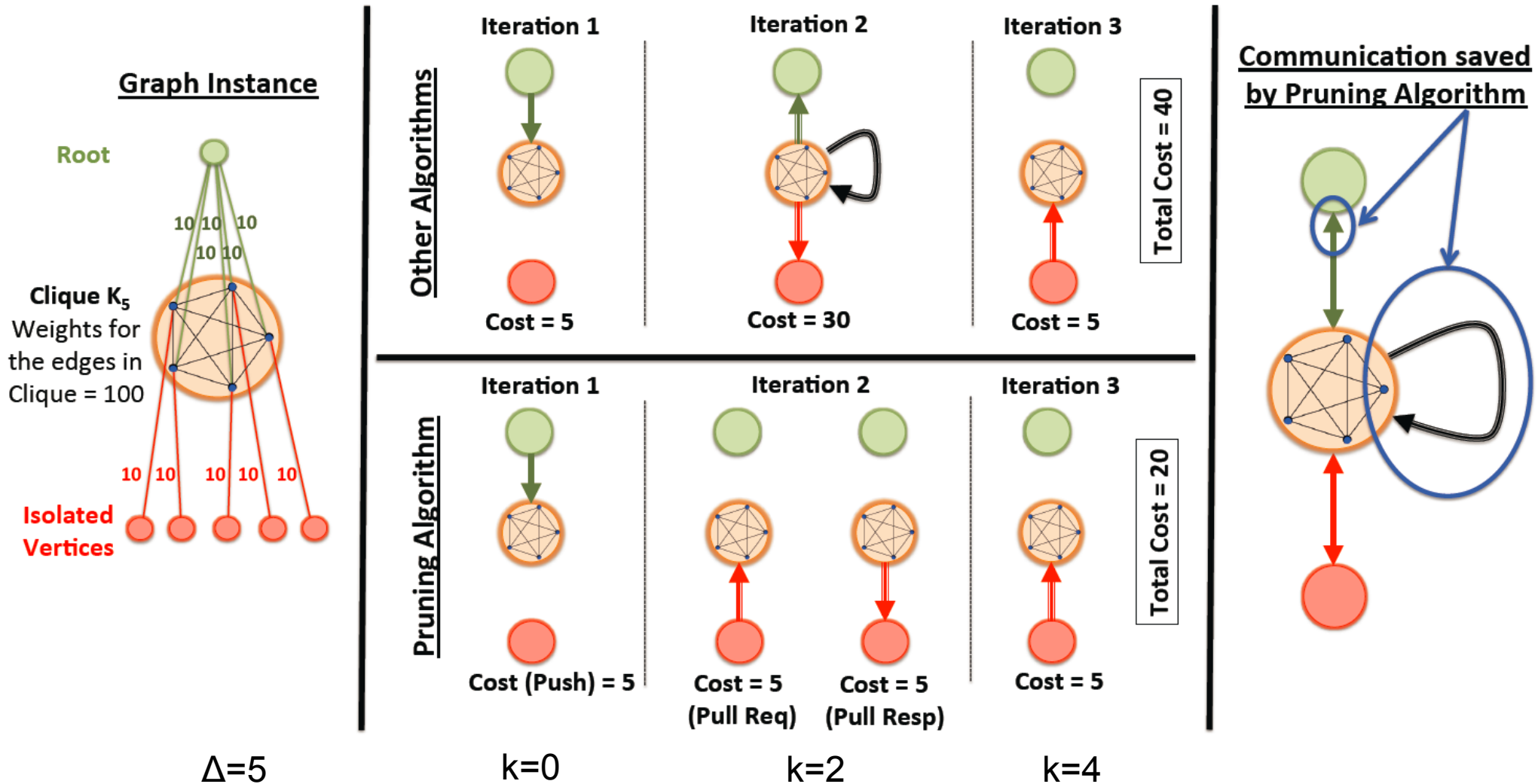
(a) Push Model



(b) Pull Model

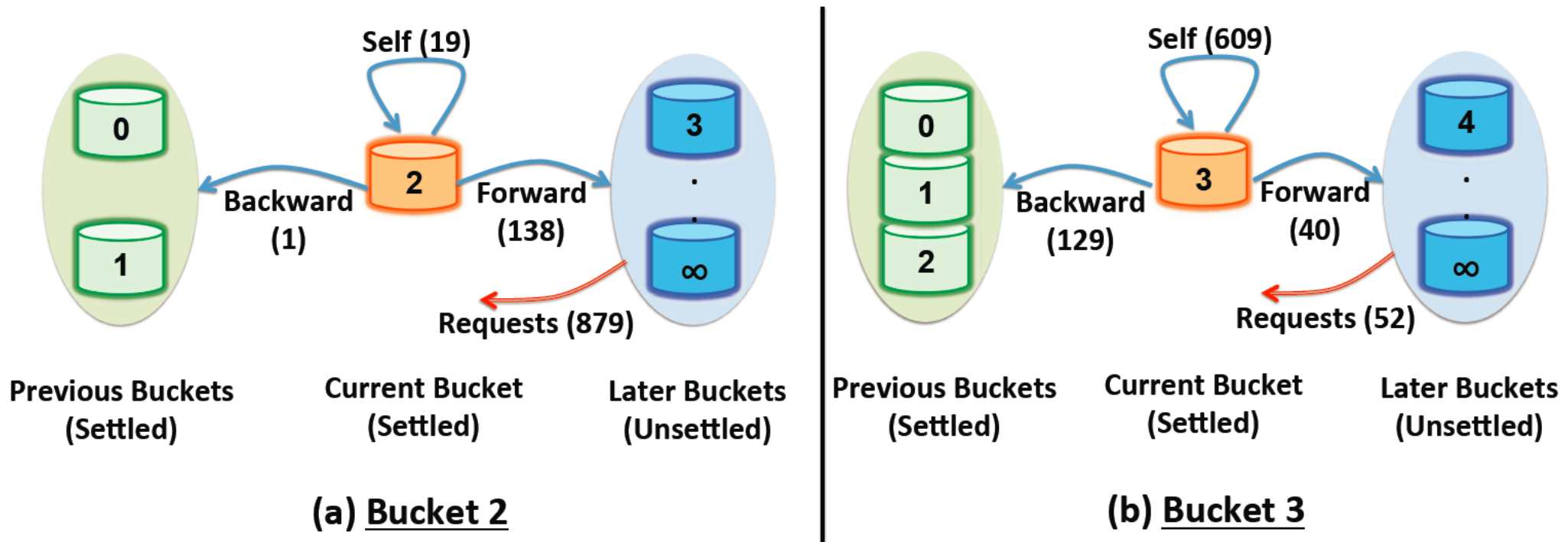
$$w(e) < d(v) - k\Delta$$

# SSSP: Иллюстрация pull-модели



$$w(e) < d(v) - k\Delta$$

# SSSP: Выбор между push и pull



- push-модель – для bucket'ов с вершинами низкой степени
- pull-модель – для bucket'ов с вершинами высокой степени



# Заключение

# Благодарности

- IBM Research
  - Fabrizio Petrini
  - Fabio Checconi

# Заключение

- BFS

- IBM Blue Gene/Q Sequoia, 64k узлов, 4 млн. нитей
- scale=40, 15.3 трлн. TEPS
- 1D-декомпозиция, compressed adjacency list with a coarse index, direction-оптимизация, балансировка нагрузки, сжатие сообщений, многопоточность

- SSSP

- IBM Blue Gene/Q Mira, 32k узлов, 2 млн. нитей
- scale=38, 3.1 трлн. TEPS
- классификация ребер, pruning-эвристика (push-, pull-модели), гибридизация, балансировка нагрузки

# Ссылки

- [g500-2014] F. Checconi, F. Petrini “Traversing Trillions of Edges in Real-time: Graph Exploration on Large-scale Parallel Machines”, [IPDPS 2014](#), Phoenix, Arizona, May 19-23, 2014  
<http://www.odbms.org/wp-content/uploads/2014/05/g500-ipdps14.pdf>
- [sssp-2014] V.T. Chakaravarthy, F. Checconi, F. Petrini, Y. Sabharwal “Scalable Single Source Shortest Path Algorithms for Massively Parallel Systems”, [IPDPS 2014](#), Phoenix, Arizona, May 19-23, 2014  
<http://www.odbms.org/wp-content/uploads/2014/05/sssp-ipdps2014.pdf>
- [g500-2012] F. Checconi, F. Petrini, J. Willcock, A. Lumsdaine, A.R. Choudhury, Y. Sabharwal “Breaking the speed and scalability barriers for graph exploration on distributed-memory machines”, [SC '12](#), Salt Lake City, Utah, Nov 10-16, 2012

# Дополнительные слайды

# IBM Blue Gene/Q Sequioa

- LLNL
- TOP500
  - 3-е место (2013/11)
  - $R_{\text{peak}} = 20.1$  Пфлоп/с
  - $R_{\text{max}} = 17.2$  Пфлоп/с
- 96 стоек (12 x 8)
  - 98 304 выч. узла
  - 1 572 864 ядра
  - 1.5 ПБ памяти



# BFS: Проблемы и пути решения

Challenge	Strategy
<b>Algorithms</b>	
Data decomposition	1D/2D
Search pruning	Direction optimization
Metadata	Bitmaps/shortcut lists
Load balancing	Node/thread
Comp/comm equalization	Compression
<b>Implementation</b>	
Irregular communication	Mailboxing/coalescing
Synchronization overhead	Lock-free queues
QoS	Private queues
Global decisions	Async collectives

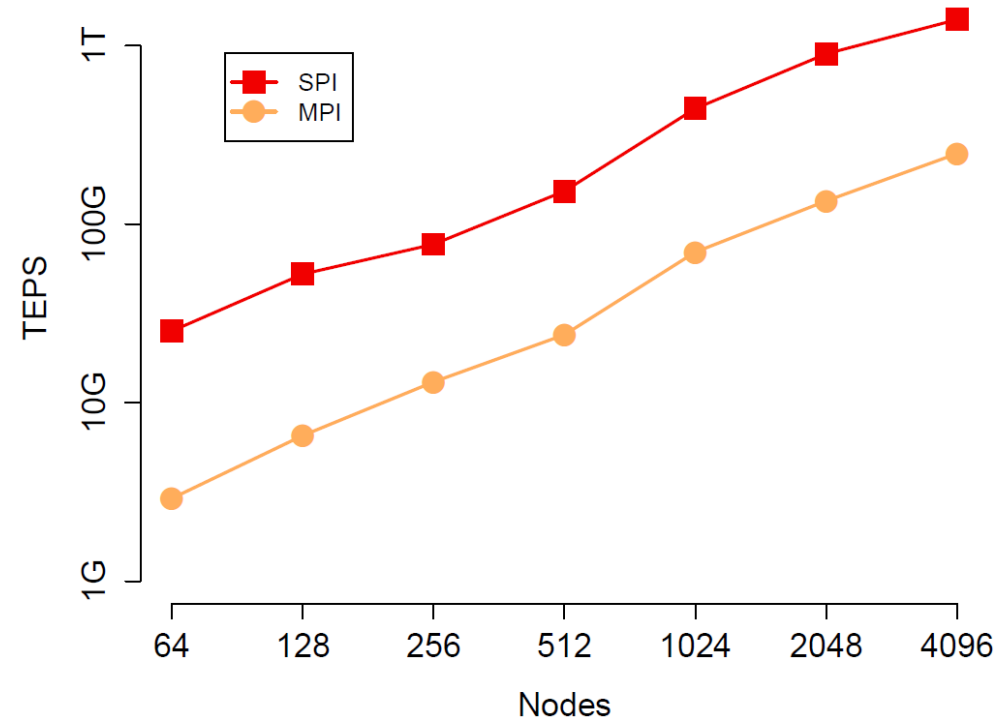
# BFS: Сжатие сообщений

- Пакет
  - заголовок (64 бита)
    - идентификатор src-узла (16 бит)
    - содержательная нагрузка пакета в байтах (24 бита)
    - базовая вершина (24 бит)
  - вершина (48 бит)
    - младшие биты src-вершины (24 бита)
    - младшие биты dst-вершины (24 бита)
  - reduced-формат (32 бита)
    - младшие биты src-вершины (24 бита)
    - разница с предыдущей / базовой dst-вершиной (7 бит)

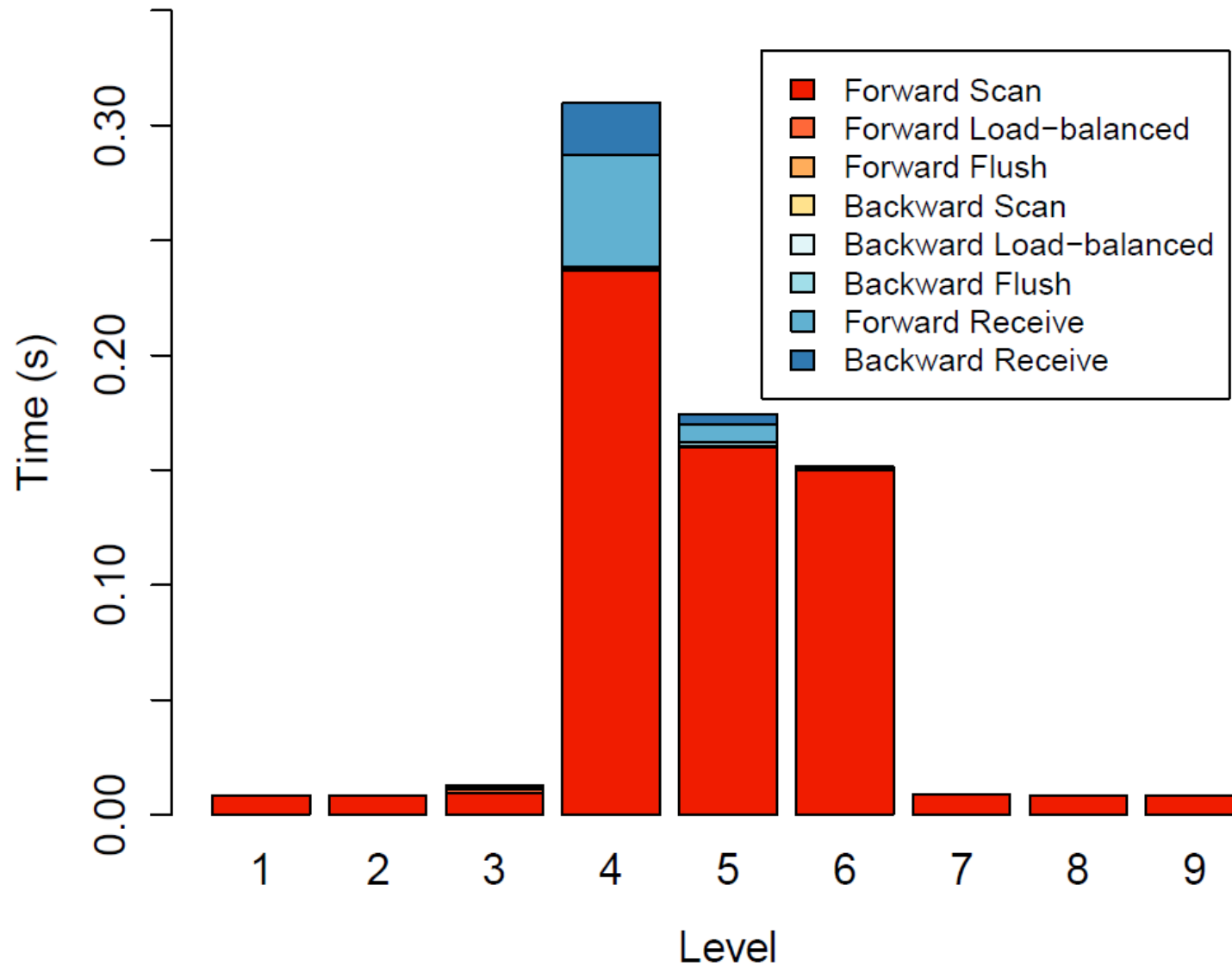


# BFS: SPI vs MPI

- **SPI:**
  - Blue Gene/Q System Programming Interface
  - асинхронный
- **MPI:**
  - bulk-synchronous
  - две фазы (подсчет, обмен)
- Direction-оптимизация
- max scale per node:
  - **SPI:** 24
  - **MPI:** 23



# BFS: Разбиение по времени



1024 узла, scale=34

# IBM Blue Gene/Q Mira

- ANL
- TOP500
  - 5-е место (2013/11)
  - $R_{\text{peak}} = 10.1$  Пфлоп/с
  - $R_{\text{max}} = 8.59$  Пфлоп/с
- 48 стоек
  - 49 152 выч. узла
  - 786 432 ядра
  - 0.75 ПБ памяти



# Правовая информация

IBM, логотип IBM, BladeCenter, System Storage и System x являются товарными знаками International Business Machines Corporation в США и/или других странах. Полный список товарных знаков компании IBM смотрите на узле Web: [www.ibm.com/legal/copytrade.shtml](http://www.ibm.com/legal/copytrade.shtml).

Названия других компаний, продуктов и услуг могут являться товарными знаками или знаками обслуживания других компаний.

(c) 2014 International Business Machines Corporation. Все права защищены.

Упоминание в этой публикации продуктов или услуг корпорации IBM не означает, что IBM предполагает предоставлять их во всех странах, в которых осуществляет свою деятельность, информация о предоставлении продуктов или услуг может быть изменена без уведомления. За самой свежей информацией о продуктах и услугах компании IBM, предоставляемых в Вашем регионе, следует обращаться в ближайшее торговое представительство IBM или к авторизованным бизнес-партнерам.

Все заявления относительно намерений и перспективных планов IBM могут быть изменены без уведомления.

Информация о продуктах третьих фирм получена от производителей этих продуктов или из опубликованных анонсов указанных продуктов. IBM не тестировала эти продукты и не может подтвердить производительность, совместимость, или любые другие заявления относительно продуктов третьих фирм. Вопросы о возможностях продуктов третьих фирм следует адресовать поставщику этих продуктов.

Информация может содержать технические неточности или типографические ошибки. В представленную в публикации информацию могут вноситься изменения, эти изменения будут включаться в новые редакции данной публикации. IBM может вносить изменения в рассматриваемые в данной публикации продукты или услуги в любое время без уведомления.

Любые ссылки на узлы Web третьих фирм приведены только для удобства и никоим образом не служат поддержкой этим узлам Web. Материалы на указанных узлах Web не являются частью материалов для данного продукта IBM.